

Вынужденные осесимметричные колебания тонкой круглой биморфной пластины ступенчато переменной толщины и жесткости

Д. А. Шляхин

1. Введение. В различных акустических устройствах в качестве преобразователя энергии используются тонкостенные круглые биморфные пластины. Наиболее эффективной конструкцией, обладающей высокой механической прочностью и чувствительностью, является круглая металлическая подложка с наклеенными с двух сторон пьезокерамическими пластинами меньшего диаметра. Расчет рассматриваемых тел вращения, как правило, выполняется путем аппроксимации их набором кольцевой и сплошной пластин постоянной толщины. При этом для определения напряженно-деформированного состояния каждого элемента используется техническая теория тонких пластин [1-3].

В настоящей работе исследование тонкой биморфной пьезокерамической пластины проводится на основании гиперболической системы уравнений Тимошенко [4], в которой ступенчато переменная толщина и жесткость системы, а также нестационарная механическая нагрузка описывается с помощью сингулярных обобщенных функций [5]. Кроме того, по-видимому, впервые в настоящей работе при решении динамических задач учитывается особенность изменения, в виде скачка, градиента касательных и нормальных напряжений в области изменений высоты и жесткости пластины. При исследовании задачи на собственные значения для тонких пластин ступенчато-переменной толщины данная особенность учитывалась в работе [6].

2. Постановка задачи. Пусть биморфная круглая пластина состоит из металлической заземленной подложки, занимающей в цилиндрической системе координат (r_*, θ, z) область $\Omega: \{0 \leq r_* \leq b, 0 \leq \theta \leq 2\pi, -h_1^*/2 \leq z \leq h_1^*/2\}$, и двух наклеенных на нее пьезокерамических элементов меньшего диаметра $\{0 \leq r_* \leq a, a < b\}$ толщиной h_2^* (рис.1). Изгибные осесимметричные колебания возбуждаются за счет действия механической динамической нагрузки (нормальных напряжений) $q^*(r_*, t_*)$, являющейся произвольной

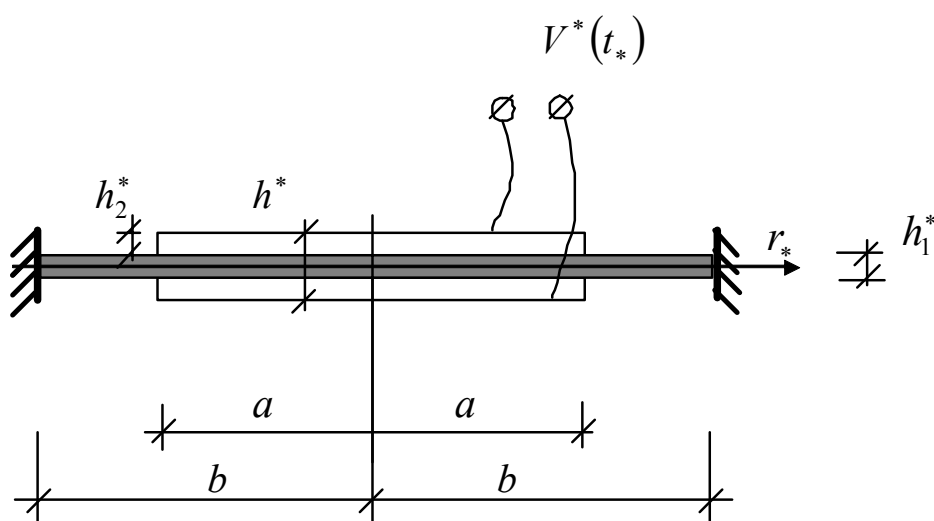


Рис.1. – Биморфная пластина

функцией радиальной координаты r_* и времени t_* . В результате деформирования на лицевых электродах пьезокерамических пластин генерируется электрический потенциал $\pm \phi^*(r_*, t_*)$. Подключение их к измерительному прибору позволяет зафиксировать величину и форму электрического напряжения $V^*(t_*)$.

Условия закрепления цилиндрической поверхности пластины могут быть произвольными. Для определенности считаем ее жестко закрепленной.

Система Тимошенко для рассматриваемой тонкой круглой пьезокерамической биморфной пластины в безразмерной форме записывается в виде следующих дифференциальных уравнений осесимметричного движения и начально-краевых условий:

$$\nabla_1^2 W - \nabla \psi - a_1(r) \frac{\partial^2 W}{\partial t^2} = -\delta(p-r)A_1(t) - A_2(r, t), \quad (1)$$

$$\nabla_2^2 \psi + a_2(r) \left(\frac{\partial W}{\partial r} - \psi \right) - a_3(r) \frac{\partial^2 \psi}{\partial t^2} = -\delta(p-r)A_3(t),$$

$$r=1: \quad W(1, t) = 0, \quad \psi(1, t) = 0, \quad (2)$$

$$r=0: \quad W(0, t) < \infty, \quad \psi(0, t) < \infty,$$

$$t=0: \quad W(r, 0) = W_0, \quad \psi(r, 0) = \psi_0, \quad \dot{W}(r, 0) = \dot{W}, \quad \dot{\psi}(r, 0) = \dot{\psi}_0, \quad (3)$$

где $W(r, t) = \frac{W^*(r, t)}{b}$, $W^*(r, t), \psi(r, t)$ – прогиб и угол поворота сечения пластины в

плоскости (r, z) , $a_1(r) = \frac{C_{11}^{(1)}}{k(r)C_{55}^{(1)}} a_4(r)^{-1} \left[1 + 2 \frac{h_2}{h_1} \frac{\rho_2}{\rho_1} H(p-r) \right]$,

$$a_2(r) = \frac{12k(r)C_{55}^{(1)}}{C_{11}^{(1)}h_1^2} a_5(r)^{-1} a_4(r), \quad a_3(r) = a_5(r)^{-1} \left[1 + \left(\frac{h^3}{h_1^3} - 1 \right) \frac{\rho_2}{\rho_1} H(p-r) \right],$$

$$a_4(r) = 1 + 2 \frac{h_2}{h_1} \frac{C_{55}^{(2)}}{C_{55}^{(1)}} H(p-r), \quad a_5(r) = 1 + \left(\frac{C_{11}^{(2)}}{C_{11}^{(1)}} N_1 + \frac{e_{31}^2}{C_{11}^{(1)} \epsilon_{33}} N_2 \right) H(p-r),$$

$$A_1(t) = \frac{2C_{55}^{(2)}h_2}{C_{55}^{(1)}h_1} a_4(p)^{-1} \left(\frac{\partial W}{\partial r} - \psi \right)_{|r=p}, \quad A_2(r, t) = \frac{q(r, t)}{k(r)a_4(r)}, \quad q(r, t) = \frac{q^*(r, t)}{C_{55}^{(1)}h_1},$$

$$A_3(t) = a_5(p)^{-1} \left[\left(\frac{C_{11}^{(2)}}{C_{11}^{(1)}} N_1 + \frac{e_{31}^2}{C_{11}^{(1)} \epsilon_{33}} N_2 \right) \frac{\partial \psi}{\partial r} + \left(\frac{C_{12}^{(2)}}{C_{11}^{(1)}} N_1 + \frac{e_{31}^2}{C_{11}^{(1)} \epsilon_{33}} N_2 \right) \frac{\psi}{r} \right]_{|r=p},$$

$$N_1 = \frac{h^3}{h_1^3} - 1, \quad N_2 = \frac{3}{2} \frac{h}{h_1} \left(\frac{h^2}{h_1^2} - 1 \right), \quad \nabla_1^2 = \frac{\partial^2}{\partial r^2} + \frac{1}{r} \frac{\partial}{\partial r}, \quad \nabla_2^2 = \nabla_1^2 - \frac{1}{r^2}, \quad \nabla = \frac{\partial}{\partial r} + \frac{1}{r},$$

$$r = \frac{r_*}{b}, \quad p = \frac{a}{b}, \quad h_1 = \frac{h_1^*}{b}, \quad h_2 = \frac{h_2^*}{b}, \quad h = \frac{h^*}{b}, \quad h^* = h_1^* + 2h_2^*, \quad t = t_* b \sqrt{\frac{\rho_1}{C_{11}^{(1)}}},$$

$\rho_1, \rho_2, C_{ms}^{(1)}, C_{ms}^{(2)}$ – объемная плотность и модули упругости соответственно металлической подложки и пьезокерамических пластин; e_{31}, ϵ_{33} – пьезомодуль и диэлектрическая проницаемость электроупругого материала; $k(r)$ – коэффициент поперечного сдвига;

$W_0, \psi_0, \dot{W}_0, \dot{\psi}_0$ – известные в начальный момент времени перемещение, угол поворота и их скорости; $\delta(\dots)$, $H(\dots)$ – единичные функции Дирака и Хэвисайда.

В равенстве (3) и ниже точка означает дифференцирование по времени.

При составлении (1) рассматривался случай подключения биморфной пластины к измерительному прибору с большим входным сопротивлением (электрический холостой ход), а также учитывалось противоположное направление вектора аксиальной поляризации в двух используемых пьезокерамических элементах.

В этом случае нормальная компонента вектора напряженности $E_z(r_*, z, t_*)$ определяется из условия отсутствия тока смещения на лицевых электродах $D_{z|z=\pm h/2} = 0$, т.е.

$$E_z = \frac{e_{31}}{\varepsilon_{33}} \left(\frac{\partial \psi}{\partial r_*} + \frac{\psi}{r_*} \right) \frac{h^*}{2} \left[H \left(z - \frac{h^*}{2} \right) - H \left(-z - \frac{h^*}{2} \right) \right] H(a - r_*), \quad (4)$$

а изгибающие моменты и поперечная сила с учетом кинематических гипотез для тонких пластин:

$$\begin{aligned} M_r(r_*, t_*) = & -\frac{(bh_1)^3}{12} \left\{ \left[C_{11}^{(1)} + H(a-r) \left(C_{11}^{(2)} N_1 + \frac{e_{31}^2}{\varepsilon_{33}} N_2 \right) \right] \frac{\partial \psi}{\partial r_*} + \right. \\ & \left. + \left[C_{12}^{(1)} + H(a-r) \left(C_{12}^{(2)} N_1 + \frac{e_{31}^2}{\varepsilon_{33}} N_2 \right) \right] \frac{\psi}{r_*} \right\}, \\ M_\theta(r_*, t_*) = & -\frac{(bh_1)^3}{12} \left\{ \left[C_{12}^{(1)} + H(a-r) \left(C_{12}^{(2)} N_1 + \frac{e_{31}^2}{\varepsilon_{33}} N_2 \right) \right] \frac{\partial \psi}{\partial r_*} + \right. \\ & \left. + \left[C_{11}^{(1)} + H(a-r) \left(C_{11}^{(2)} N_1 + \frac{e_{31}^2}{\varepsilon_{33}} N_2 \right) \right] \frac{\psi}{r_*} \right\}, \\ Q_r(r_*, t_*) = & k(r) C_{55}^{(1)} h_1^* \left[1 + H(a-r) \frac{2h_2}{h_1} \frac{C_{55}^{(2)}}{C_{55}^{(1)}} \right] \left(\frac{\partial W^*}{\partial r_*} - \psi \right). \end{aligned} \quad (5)$$

Система дифференциальных уравнений (1) включает в себя ступенчато-переменные коэффициенты $a_1(r) \div a_5(r)$, поэтому $W(r, t), \psi(r, t)$ являются непрерывными кусочно-гладкими функциями. При этом точка P является особой, в которой наблюдается резкое изменение, в виде скачка, градиента изгибающих моментов и поперечной силы (нормальных и касательных напряжений). Данная особенность учитывается с помощью функций $A_1(t), A_3(t)$.

Потенциал электрического поля $\phi^*(r_*, t_*)$, генерируемый в пьезокерамических пластинах, определяется в результате интегрирования равенства (4), принимая во внимание заземление металлической подложки, а электрическое напряжение холостого хода $V^*(t_*)$ вычисляется по формуле

$$V^*(t_*) = S^{-1} \int_{(S)} \left[\phi^*(r_*, t_*) \Big|_{z=\frac{h^*}{2}} - \phi^*(r_*, t_*) \Big|_{z=-\frac{h^*}{2}} \right] dS,$$

где S – площадь пьезокерамической пластины.

В результате имеем следующее выражение для функции $V^*(t_*)$:

$$V^*(t_*) = \frac{e_{31}}{\varepsilon_{33}} \frac{h^*(h^* - h_1^*)}{a} \psi^*(a, t_*). \quad (6)$$

3. Построение общего решения. Начально-краевую задачу (1) – (3) относительно функций $W(r, t), \psi(r, t)$ решаем, используя структурный алгоритм метода конечных интегральных преобразований КИП [7]. Введем на сегменте $[0, 1]$ КИП с неизвестными компонентами $K_1(\lambda_i, r), K_2(\lambda_i, r)$ вектор-функции ядра преобразования и весовыми функциями α, β :

$$G(\lambda_i, t) = \int_0^1 [\alpha W(r, t) K_1(\lambda_i, r) + \beta \psi(r, t) K_2(\lambda_i, r)] r dr, \quad (7)$$

$$W(r, t) = \sum_{i=1}^{\infty} G(\lambda_i, t) K_1(\lambda_i, r) \|K_i\|^{-2}, \quad \psi(r, t) = \sum_{i=1}^{\infty} G(\lambda_i, t) K_2(\lambda_i, r) \|K_i\|^{-2}, \quad (8)$$

$$\|K_i\|^2 = \int_0^1 [\alpha K_1^2(\lambda_i, r) + \beta K_2^2(\lambda_i, r)] r dr,$$

где λ_i – положительные параметры образующие счетное множество ($i = \overline{1, \infty}$).

Равенство (7) представляет трансформанту, а (8) формулы обращения метода КИП.

При этом круговые частоты осесимметричных колебаний биморфной пластины ω_i связаны с λ_i зависимостью

$$\omega_i = \frac{\lambda_i}{b} \sqrt{\frac{C_{11}^{(1)}}{\rho}}.$$

Принимая во внимание кусочно-гладкий характер функций $W(r, t), \psi(r, t)$, и представляя их в виде

$$\begin{aligned} W(r, t) &= W^{(a)}(r, t) H(r - p) + W^{(b)}(r, t) H(p - r), \\ \psi(r, t) &= \psi^{(a)}(r, t) H(r - p) + \psi^{(b)}(r, t) H(p - r), \end{aligned} \quad (9)$$

подвергаем систему уравнений (1) и начальные условия (3) преобразованиям КИП в соответствии со структурным алгоритмом [7].

В результате получаем счетное множество задач Коши для трансформанты $G(\lambda_i, t)$

$$\ddot{G}(\lambda_i, t) + \lambda_i^2 G(\lambda_i, t) = -F(\lambda_i, t), \quad (i = \overline{1, \infty}) \quad (10)$$

$$t = 0: \quad G(\lambda_i, 0) = G_0(\lambda_i), \quad \dot{G}(\lambda_i, t)|_{t=0} = \dot{G}_0(\lambda_i), \quad (11)$$

и, с учетом (2), однородную краевую задачу для компонент ядра КИП

$$\nabla_1^2 K_1^{(j)} - \nabla K_2^{(j)} + a_1^{(j)} \lambda_i^2 K_1^{(j)} = 0, \quad (j = a, b) \quad (12)$$

$$\nabla_2^2 K_2^{(j)} + a_2^{(j)} \left(\frac{dK_1^{(j)}}{dr} - K_2^{(j)} \right) + a_3^{(j)} \lambda_i^2 K_2^{(j)} = 0,$$

$$r = 1: \quad K_1^{(a)}(\lambda_i, 1) = 0, \quad K_2^{(a)}(\lambda_i, 1) = 0, \quad (13)$$

$$r = 0: \quad K_1^{(b)}(\lambda_i, 0) < \infty, \quad K_2^{(b)}(\lambda_i, 0) < \infty,$$

$$r = p: \quad K_1^{(a)}(\lambda_i, p) = K_1^{(b)}(\lambda_i, p), \quad K_2^{(a)}(\lambda_i, p) = K_2^{(b)}(\lambda_i, p), \quad (14)$$

$$\frac{dK_1^{(a)}(\lambda_i, r)}{dr} \Big|_{r=p} = \frac{dK_1^{(b)}(\lambda_i, r)}{dr} \Big|_{r=p}, \quad \frac{dK_2^{(a)}(\lambda_i, r)}{dr} \Big|_{r=p} = \frac{dK_2^{(b)}(\lambda_i, r)}{dr} \Big|_{r=p}.$$

В соотношениях (10) – (14) приняты следующие обозначения

$$K_1(\lambda_i, r) = K_1^{(a)}(\lambda_i, r)H(r-p) + K_1^{(b)}(\lambda_i, r)H(p-r),$$

$$K_2(\lambda_i, r) = K_2^{(a)}(\lambda_i, r)H(r-p) + K_2^{(b)}(\lambda_i, r)H(p-r),$$

$$a_1^{(a)} = \frac{C_{11}^{(1)}}{k^{(a)}C_{55}^{(1)}}, \quad a_2^{(a)} = \frac{12k^{(a)}C_{55}^{(1)}}{C_{11}^{(1)}h_1^2}, \quad a_3^{(a)} = 1, \quad a_1^{(b)} = \frac{C_{11}^{(1)}[h_1\rho_1 + 2h_2\rho_2]}{k^{(b)}\rho_1[C_{55}^{(1)}h_1 + 2C_{55}^{(2)}h_2]},$$

$$a_2^{(b)} = 12k^{(b)} \frac{C_{55}^{(1)}h_1 + 2C_{55}^{(2)}h_2}{C_{11}^{(1)}h_1^3 + C_{11}^{(2)}(h^3 - h_1^3)}, \quad a_3^{(b)} = \frac{C_{11}^{(1)}[h_1^3\rho_1 + (h^3 - h_1^3)\rho_2]}{\rho_1[C_{11}^{(1)}h_1^3 + C_{11}^{(2)}(h^3 - h_1^3)]},$$

$$F(\lambda_i, t) = -p[a_2^{(b)}A_1(t)K_1(\lambda_i, p) + A_3(t)K_2(\lambda_i, p)] - \int_0^1 a_1(r)^{-1} \alpha A_2 K_1 \cdot r dr,$$

$$G_0(\lambda_i) = \int_0^1 [\alpha W_0 K_1 + \beta \psi_0 K_2] \cdot r dr, \quad \dot{G}_0(\lambda_i) = \int_0^1 [\alpha \dot{W}_0 K_1 + \beta \dot{\psi}_0 K_2] \cdot r dr.$$

Равенства (14) являются условиями неразрывности деформаций и усилий в точке p , которые удовлетворяются при выполнении условия

$$k^{(a)} = \frac{C_{11}^{(1)}h_1^2}{C_{55}^{(1)}} \frac{[C_{55}^{(1)}h_1 + 2C_{55}^{(2)}h_2]}{[C_{11}^{(1)}h_1^3 + C_{11}^{(2)}(h^3 - h_1^3)]} k^{(b)},$$

$k^{(b)}$ – коэффициент поперечного сдвига биморфной пластины на участке $0 \leq r \leq p$.

Кроме того, при определении (10) - (14) использовалось условие инвариантности (1) и (12), позволившие определить весовые функции

$$\alpha^{(j)} = a_1^{(j)} a_2^{(j)}, \quad \beta^{(j)} = a_3^{(j)}.$$

Решение уравнения (10) при условиях (11) записывается в виде:

$$G(\lambda_i, t) = G_0 \cos(\lambda_i t) + \dot{G}_0 \sin(\lambda_i t) / \lambda_i - \lambda_i^{-1} \int_0^t F(\lambda_i, t) \sin \lambda_i (t - \tau) d\tau. \quad (15)$$

Система (12) приводится к однородному дифференциальному уравнению четвертого порядка относительно функции $K_1^{(j)}(\lambda_i, r)$, которое допускает факторизацию на коммутативные сомножители второго порядка и может представлено в виде :

$$\left[\frac{d^2}{dr^2} + \frac{1}{r} \frac{d}{dr} + A_i^2 \right] \left[\frac{d^2}{dr^2} + \frac{1}{r} \frac{d}{dr} - B_i^2 \right] K_1^{(j)}(\lambda_i, r) = 0. \quad (16)$$

Общий интеграл равенства (16) имеет вид

$$K_1^{(j)}(\lambda_i, r) = D_{1i}^{(j)} J_0(A_i^{(j)} r) + D_{2i}^{(j)} Y_0(A_i^{(j)} r) + D_{3i}^{(j)} I_0(B_i^{(j)} r) + D_{4i}^{(j)} \tilde{K}_0(B_i^{(j)} r). \quad (17)$$

$$\text{Здесь } B_i^{(j)} = \left[\frac{-\lambda_i^2 (a_1^{(j)} + a_3^{(j)}) + \sqrt{\lambda_i^4 (a_1^{(j)} - a_3^{(j)})^2 + 4a_1^{(j)} a_2^{(j)} \lambda_i^2}}{2} \right]^{1/2},$$

$A_i = \left[\lambda_i^2 (a_1^{(j)} + a_3^{(j)}) + (B_i^{(j)})^2 \right]^{1/2}$, $D_{1i}^{(j)} \dots D_{4i}^{(j)}$ – постоянные интегрирования, $J_\eta(\dots), Y_\eta(\dots), I_\eta(\dots), \tilde{K}_\eta(\dots)$ – обыкновенные и модифицированные функции Бесселя первого и второго родов порядка η .

Используя зависимости между $K_1^{(j)}(\lambda_i, r)$ и $K_2^{(j)}(\lambda_i, r)$, полученные в процессе приведения (12) к (16), получаем выражения для второй компоненты ядра преобразований:

$$K_2^{(j)}(\lambda_i, r) = n_{1i}^{(j)} \left[D_{1i}^{(j)} J_1(A_i^{(j)} r) + D_{2i}^{(j)} Y_1(A_i^{(j)} r) \right] + n_{2i}^{(j)} \left[D_{3i}^{(j)} I_1(B_i^{(j)} r) - D_{4i}^{(j)} \tilde{K}_1(B_i^{(j)} r) \right], \quad (18)$$

$$n_{1i}^{(j)} = A_i^{(j)} n_{3i}^{(j)} \left[(A_i^{(j)})^2 - a_1^{(j)} \lambda_i^2 - a_2^{(j)} \right]$$

$$n_{2i}^{(j)} = B_i^{(j)} n_{3i}^{(j)} \left[(B_i^{(j)})^2 + a_1^{(j)} \lambda_i^2 + a_2^{(j)} \right], \quad n_{3i}^{(j)} = (a_2^{(j)} - a_3^{(j)} \lambda_i^2)^{-1}.$$

Подстановка (17), (18) в (13), (14) позволяет сформулировать трансцендентное уравнение для определения λ_i и выражения для постоянных интегрирования $D_{1i}^{(j)} \dots D_{4i}^{(j)}$.

Применяя к трансформанте (15) формулы обращения (8) получаем, с учетом (17), (18) выражения для $W(r, z), \psi(r, z)$.

4. Численные результаты. В качестве примера рассматривается биморфная пластина ($b = 31$ мм, $a = 21$ мм, $h_1^* = 1$ мм, $h_2^* = 0.35$ мм), имеющая следующие физические характеристики материала стальной подложки и аксиально поляризованной пьезокерамической пластины состава РХЕ-5 : $\{C_{11}^{(1)}, C_{12}^{(1)}, C_{55}^{(1)}\} = \{22.35, 6.26, 8.05\} \times 10^{10}$ Н/м², $\rho_1 = 7800$ кг/м³, $\{C_{11}^{(2)}, C_{12}^{(2)}, C_{55}^{(2)}\} = \{10.33, 5.8, 2.5\} \times 10^{10}$ Н/м², $\rho_2 = 7600$ кг/м³.

Расчеты приводятся для случая действия равномерно распределенной гармонической нагрузки:

$$q(r, t) = q_0 \sin \theta t ,$$

где θ , q_0 - частота и амплитудное значение.

На рис.2,3 показаны графики изменения вертикальных перемещений центра пластины $W(0, t)$ во времени t при различных частотных характеристиках θ внешнего воздействия. Сплошной линией обозначены результаты, полученные на основании построенного в настоящей работе алгоритма, а пунктирной – осциллограммы, построенные без учета функций $A_1(t), A_3(t)$.

Отмечаем, что увеличение частоты внешнего воздействия в рассматриваемом диапазоне приводит к росту перемещений, т.е. более полному проявлению инерционных свойств рассматриваемой системы.

Кроме того, учет особенностей в точке P с помощью функций $A_1(t), A_3(t)$ приводит к «ужесточению» рассматриваемой системы и уменьшению перемещений.

Эффективность электромеханического преобразования энергии биморфных пластин оценивается с помощью динамического коэффициента электромеханической связи k_d^2 , который, как правило, представляет отношение резонансных частот вычисляемых для различных электрических краевых условий на электродном покрытии [8]. Расчетные соотношения, построенные в настоящей работе, позволяют определить меру преобразования энергии с помощью более очевидной характеристики, а именно вертикальных перемещений пьезоэлемента, которые определяются трансформантой нагрузки $F(\lambda_i, t)$. В этом случае зависимость коэффициента k_d^2 от радиуса пьезокерамических пластин вычисляется по формуле:

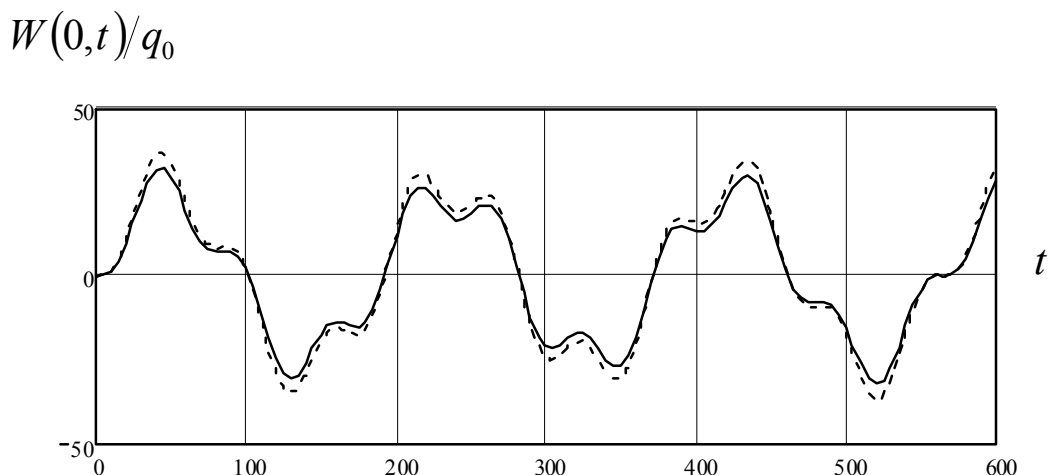


Рис.2. - Изменение вертикальных перемещений $W(0, t)$ во времени t при $\theta = 0.3\lambda_1$ (λ_1 - собственные значения первой резонансной частоты)

$$W(0,t)/q_0$$

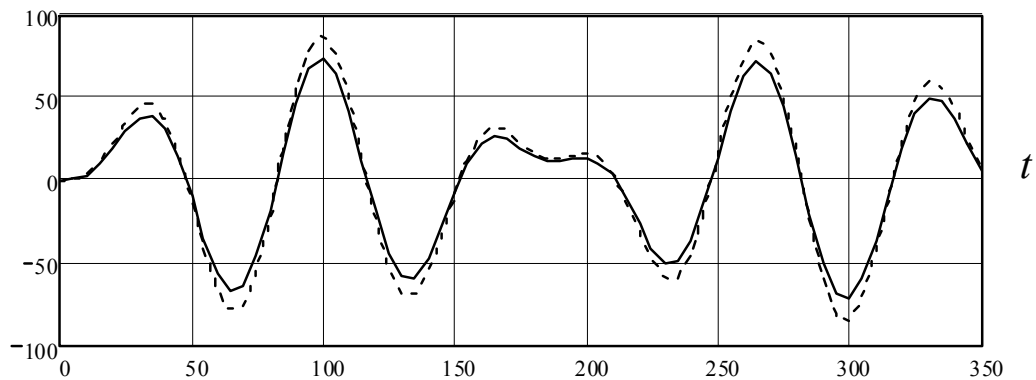


Рис.3. - Изменение вертикальных перемещений $W(0,t)$ во времени t при $\theta = 0.7\lambda_1$

$$k_d^2 = \frac{[pK_2(\lambda_i, p)]^2}{\|K_i\|}$$

На рис.4 представлены графики изменения k_d^2 для первых двух мод собственных колебаний жестко закрепленного биморфа. Сплошная и пунктирная кривые соответствуют первому и второму номеру частот. Результаты расчета показывают, что если основной вклад в напряженно-деформированное состояние пластины вносит первая частота собственных колебаний, то оптимальное отношение радиусов подложки и пьезопластины равно 0.68. В случае, когда определяющей характеристикой является вторая частота, то данное отношение равно 0.43 или 0.86.

$$k_d^2$$

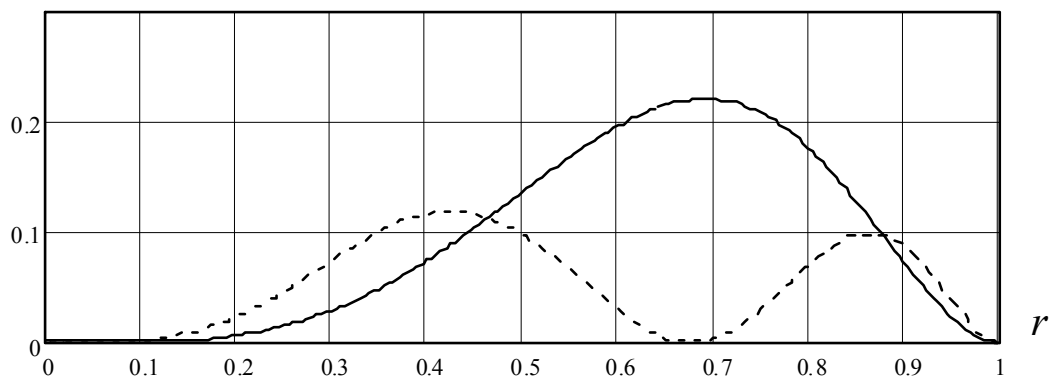


Рис.4. - Зависимость динамического коэффициента электромеханической связи от радиуса пьезокерамических пластин

В заключении отмечаем, что построенный алгоритм решения можно использовать также и при решении задач обратного пьезоэффекта. Для этого необходимо провести соответствующую замену правых частей дифференциальных уравнений (1).

Литература:

1. Евсейчик, Ю.Б. Чувствительность биморфного преобразователя типа металл-пьезокерамика [Текст] // Прикл. мех., 1990.- 26.- №12.- С. 67-75.
2. Евсейчик, Ю.Б., Медведев К.В. Чувствительность гидроакустического датчика давления [Текст] // Гидравлика и гидротехника. Науч.- техн. сб. –Киев: НТУ, 2008. –Вып.62. – С.10-16.
3. Рудницкий, С.Н. Шарапов В.М., Шульга Н.А. Колебания дискового биморфного преобразователя типа металл–пьезокерамика [Текст]// Прикл. мех.1990.–26. - №10. –С. 64–72.
4. Тимошенко С.П. Пластины и оболочки [Текст]/ С.П. Тимошенко, С. Войновский-Кригер. – М.: Наука, 1966. – 625 с.
5. Гельфанд, И.М. Обобщенные функции и действия над ними [Текст] / И.М. Гельфанд, Г.Е. Шилор. – М.: Физматгиз., 1959. – 470 с.
6. Хмелев, В.Н., Галахов А.Н., Лебедев А.Н., Шалунов А.В., Шалунова К.В. Исследование зависимости геометрических размеров на характеристики излучателя в виде пластины [Текст] // Мат-лы Всероссийск. конф. ИАМП-2010. г.Бийск, 2010. –С.200-206.
7. Сеницкий, Ю.Э. Многокомпонентное обобщенное конечное интегральное преобразование и его приложение к нестационарным задачам механики [Текст] // Изв. вузов. Математика, 1991. - №4. - С. 57-63.
8. Ватульян, А.О., Рынкова А.А. Об одной модели изгибных колебаний пьезоэлектрических биморфов с разрезными электродами и ее приложение [Текст] // Изв. РАН. МТТ. 2007. -№4. – С.114-122.